

مهندسی فناوری اطلاعات مکانی

سال یکم، شماره دوم، زمستان ۱۳۹۲

Vol.1, No.3, Winter 2014

صحت‌سنجی روش تحلیل سلسله‌مراتبی (AHP) و رگرسیون چندمتغیره (MR) در پهنه‌بندی خطر زمین‌لغزش به کمک تکنیک GIS (مطالعه موردی: حوضه رودخانه ماربر)

کورش شیرانی^{*}، عبدالله سیف^آ، مسعود علیمرادی^۳

۱- دانشجوی دکتری ژئومورفولوژی، دانشکده علوم جغرافیایی، دانشگاه اصفهان

۲- استادیار دانشکده علوم جغرافیایی، دانشگاه اصفهان

۳- کارشناس ارشد ژئومورفولوژی، دانشکده علوم جغرافیایی، دانشگاه اصفهان

تاریخ دریافت مقاله: ۱۳۹۲/۴/۲۹ تاریخ پذیرش مقاله: ۱۳۹۲/۲/۲۴

چکیده

مجموعه‌ای از عوامل طبیعی و انسانی به وقوع خسارت‌های زیاد ناشی از زمین‌لغزش‌ها دامن زده است. یکی از راهکارهای مهم برای کاهش خسارت‌های ناشی از وقوع زمین‌لغزش‌ها، دوری جستن از این مناطق است. بدین منظور لازم است تا نقشه پهنه‌بندی خطر زمین‌لغزش نسبتاً دقیقی از بین روش‌های موجود برای این مناطق تهیه گردد. هدف این تحقیق آن است تا در مرحله نخست به کمک رابطه رگرسیونی چندمتغیره (MR)، اولویت نسبی (ارجحیت) عوامل مؤثر تعیین گردد و از آنها به جای اولویت‌بندی عوامل در روش سلسله‌مراتبی (AHP) - که به صورت کارشناسی مشخص می‌شوند - استفاده گردد. در مرحله بعد، ضمن تهیه نقشه پهنه‌بندی خطر زمین‌لغزش، صحت دو روش نیز ارزیابی و مقایسه می‌شود. برای انجام این تحقیق، بهوسیله عکس‌های هوایی و تصاویر ماهواره‌ای، نقشه‌های زمین‌شناسی موجود و بررسی‌های میدانی به کمک سامانه موقعیت‌یاب (GPS)، نقشه پراکنش زمین‌لغزش‌ها در حوضه رودخانه ماربر از زیروحضه‌های بالادرست حوضه کارون شمالی به وسعت ۸۰۰ کیلومترمربع واقع در جنوبی‌ترین قسمت استان، تهیه شده است. سپس ۹ عامل لیتوولوژی، شب، کاربری اراضی، بارش، پوشش گیاهی، جهت شب، و عناصر خطی جاده، گسل و آبراهه (۵۴ پارامتر در قالب ۹ عامل) مورد بررسی قرار گرفته و عوامل مؤثر در لغزش نیز تعیین شده‌اند. بهمنظور بالا بردن دقت، سرعت و سهولت آنالیز تمامی اطلاعات مکانی و توصیفی وارد سیستم GIS گردیدند و بهوسیله نرم‌افزار ArcGIS نسخه ۹/۳ بهصورت برداری هم‌پوشانی داده شدند. از هم‌پوشانی نقشه‌های عوامل مذکور، ۲۷۴۶ واحد همگن حاصل شد که مبنای اعمال روابط حاصل از دو روش تحلیل رگرسیونی چند متغیره (MR) و سلسله‌مراتبی (AHP) قرار گرفت. تجزیه و تحلیل نتایج به دست آمده نشان داد که هر دو روش، دارای دقت تقریباً یکسان در تفکیک پهنه‌های خطر با شاخص زمین‌لغزش کاملاً مشخصی هستند؛ اما روش سلسله‌مراتبی براساس شاخص مجموع کیفیت (Qs) - که شاخص صحت نیز نامیده می‌شود - دارای مطلوبیت بیشتری است.

کلیدواژه‌ها: زمین‌لغزش، پهنه‌بندی خطر، حوضه آبخیز رودخانه ماربر، رگرسیون چندمتغیره، تحلیل سلسله‌مراتبی (AHP)، سامانه اطلاعات مکانی (GIS).

* نویسنده مکاتبه‌کننده: اصفهان، شهرک امیر حمزه، مرکز تحقیقات کشاورزی و منابع طبیعی اصفهان. تلفن ۰۹۱۳۳۱۳۷۳۵۶

۱- مقدمه

پارامترهای طبیعی متعدد که به صورت همزمان و با هم تأثیرگذارند، وقوع می‌یابند. لذا پژوهشگران مختلف که پیش‌تر به برخی از آنها اشاره شد، کوشیده‌اند تا مدل‌هایی را که با شرایط ذاتی پدیده‌های طبیعی هم‌خوانی و قربت بیشتری دارند، به کار بگیرند.

به همین خاطر نیز از روش آماری چندمتغیره، که در آن عوامل طبیعی مؤثر به عنوان متغیرهای مستقل، به صورت یک‌جا و با هم نسبت به عامل زمین‌لغزش به عنوان متغیر وابسته در نظر گرفته می‌شود، برای وزن‌دهی به عوامل استفاده شده است. همچنین در روش سلسله‌مراتبی به کمک مقایسه دو به دوی پارامترها براساس نظر کارشناسی به بررسی تأثیر آنها در رخداد زمین‌لغزش در قالب ایجاد ماتریس پرداخته می‌شود. به نظر می‌رسد که اگر بتوان به کمک روش آماری رگرسیون چندمتغیره به استخراج اوزان نسبی پارامترهای مؤثر پرداخت و سپس از آنها در روش سلسله‌مراتبی استفاده کرد، می‌توان با حذف نظر کارشناسی در اولویت‌بندی عوامل روش سلسله‌مراتبی و جایگزینی اوزان نسبی استخراجی حاصل از روش آماری رگرسیونی به جای آن، دقت روش سلسله‌مراتبی را بالاتر برد. لازم به ذکر است که پژوهشگران تاکنون از روش‌های یاد شده به صورت مجزا استفاده کرده‌اند و هیچ‌گاه نکوشیده‌اند که دیدگاه‌های کارشناسی را در اولویت‌بندی و ارجحیت دادن نسبی عوامل حذف کنند. این در حالی است که یکی از اهداف اصلی کاربرد مدل‌های آماری در پهنه‌بندی خطر زمین‌لغزش، کاهش یا حذف دیدگاه‌ها و قضاوت‌های کارشناسی از پیش تعیین شده است.

پژوهش حاضر بر آن است تا ضمن پهنه‌بندی حوضه رودخانه ماربر از نظر خطر رخداد زمین‌لغزش با استفاده از دو روش رگرسیون چندمتغیره (MR^۱) و تحلیل سلسله‌مراتبی (AHP^۲)، به استخراج ضرایب

حرکت‌های دامنه‌ای - و به طور اخص زمین‌لغزش‌ها - در زمرة پرخسارت‌ترین مخاطرات طبیعی‌اند که با دستکاری بشر در سیستم‌های طبیعی در دهه اخیر شتاب فزاينده‌ای یافته‌اند [۱]. از آنجا که پیش‌بینی زمان رخداد زمین‌لغزش‌ها خارج از توان شناخت و دانش بشری است، تنها با شناسایی مناطق حساس به زمین‌لغزش و رتبه‌بندی کردن آنها تا حدودی می‌توان از خطر ناشی از بروز زمین‌لغزش جلوگیری کرد [۲]. پهنه‌بندی خطر زمین‌لغزش، سطح زمین را به نواحی ویژه و مجازی از درجات بالفعل و یا بالقوه خطر - از هیچ تا بسیار زیاد - تقسیم می‌کند [۳]. این فرایند که بر مبنای شناخت ویژگی‌های طبیعی و مدل‌سازی کمی بر پایه داده‌های ناحیه مورد مطالعه صورت می‌گیرد، می‌تواند مبنای برای اقدامات بعدی و برنامه‌ریزی‌های آتی توسعه و عمران در مقیاس منطقه‌ای و ناحیه‌ای و محلی محسوب گردد [۴]. در مورد پهنه‌بندی خطر حرکت‌های توده‌ای تا کنون بررسی‌های زیادی صورت گرفته است و محققان مختلف با استفاده از روش‌های گوناگون، طبقه‌بندی‌های متنوع و متعددی را ارائه کرده‌اند [۵]. اما بسته به وضعیت موجود منطقه مورد مطالعه، دقت و انعطاف‌هر یک از این روش‌ها متفاوت با دیگری است. بنابراین برای شناخت مناطق دارای پتانسیل زمین‌لغزش و تهیه نقشه پهنه‌بندی خطر باید بهترین و دقیق‌ترین روش را با توجه به عوامل مؤثر در رخداد وضعیت منطقه برگزید [۶].

تاکنون تحقیقات متعددی در داخل و خارج کشور در زمینه پهنه‌بندی خطر زمین‌لغزش انجام گرفته است که عمدهاً شامل استفاده از روش‌های آماری دومتغیره و چندمتغیره [۲۰ و ۱۹، ۱۸، ۱۷، ۱۶، ۱۵، ۱۴، ۱۳، ۱۲، ۱۱، ۱۰، ۹، ۸، ۷، ۶، ۲۱، ۲۲، ۲۳، ۲۴، ۲۵ و ۲۶]، و یا مقایسه روش‌های آماری مذکور با روش تحلیل سلسله‌مراتبی [۲۷ و ۲۸] ارزش اطلاعاتی است [۹ و ۲۷]. از آنجا که پدیده‌های طبیعی مختلف همچون زمین‌لغزش تحت تأثیر و تعامل

1. Multivariate Regression

2. Analytical Hierarchy Process

حوضه ماربر طبق نام‌گذاری حمام در واحد هیدرولوژیک ۲-۳-۴ به نام کهردان واقع شده است [۲۹ و ۳۰]. با توجه به تقسیم‌بندی نواحی اقلیمی ایران به وسیله مسعودیان (۱۳۸۷) حوضه ماربر از نظر موقعیت جغرافیایی جزء اقلیم بلندی‌ها و برحسب ویژگی‌های اقلیمی جزء اقلیم «سرد، بارشمند، خشک» است [۳۱]. متوسط بارش سالانه در منطقه ۵۶۶/۸ میلی‌متر است [۳۰].

۲-۲- تهییه نقشه‌های عوامل مؤثر

پس از زمین‌مرجع کردن تصاویر ماهواره‌ای و نقشه‌های توپوگرافی، زمین‌شناسی، کاربری اراضی و پوشش گیاهی به وسیله نرم‌افزار ArcGIS 9.3 و ENVI 4.7 اقدام به تهییه لایه‌های مورد نیاز بدین شرح گردید:

- تهییه لایه اطلاعاتی شیب، جهت شیب، فاصله از آبراهه و جاده با استفاده از مدل رقومی ارتفاعی و نقشه توپوگرافی حوضه در محیط ArcGIS9.3 لازم به ذکر است که مبنای نقشه توپوگرافی مورد استفاده، نقشه‌های ۱/۲۵۰۰۰ سازمان نقشه‌برداری کشور است.
- تهییه لایه اطلاعاتی لیتولوژی و فاصله از گسل از نقشه زمین‌شناسی ۱/۱۰۰,۰۰۰ سازمان زمین‌شناسی کشور.
- تهییه لایه اطلاعاتی پوشش گیاهی، کاربری اراضی با استفاده از پردازش تصاویر ماهواره‌ای ETM+ ۲۰۰ با نرم‌افزار ENVI4/7 و نقشه‌های کاربری اراضی و پوشش گیاهی سازمان جنگل‌ها، مراتع و آبخیزداری کشور در مقیاس ۱/۲۵۰,۰۰۰.
- تهییه لایه اطلاعاتی خطوط هم‌باران سالانه به کمک درون‌بایی آمار ۳۱ ایستگاه هواشناسی در محیط Surfer 9
- پراکنش زمین‌لغزش‌ها در منطقه مورد بررسی با استفاده از عکس‌های هوایی منطقه، مربوط به سال ۱۳۷۲ با مقیاس ۱:۴۰۰۰ به روش استریووسکوپی، تفسیر و مناطق لغزشی تعیین گردیدند. سپس موقعیت

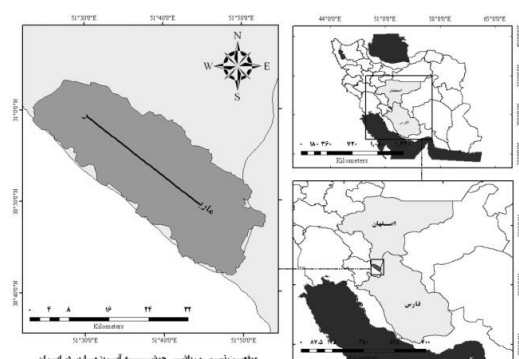
متغیرهای مستقل به کمک روش رگرسیون چندمتغیره (MR) به عنوان وزن کمی عوامل مؤثر، به جای قضاوت کارشناسی اهمیت نسبی عوامل مؤثر در ماتریس تحلیل سلسه‌مراتبی (AHP) بپردازد و در نهایت ضمن ارزیابی دو روش مذکور، میزان دقت آنها را تعیین کند.

۲- مواد و روش‌ها

۲-۱- منطقه مورد مطالعه

حوضه رودخانه ماربر در حد فاصل "3041'48" تا ۳۱۳'۲۰ عرض شمالی و "۵۱۲۳'۱۸" تا ۵۱۵۲'۵۴ طول شرقی واقع شده است. وسعت حوضه ماربر حدود ۸۰۰ کیلومترمربع است و در ۵۵ کیلومتری جنوب شهر سمیرم قرار دارد. این حوضه در جنوبی‌ترین قسمت استان اصفهان و تقریباً شمال استان فارس قرار می‌گیرد.

ناحیه مورد نظر در سلسه‌جبال زاگرس در زون زاگرس مرتفع جای گرفته است و در واقع به دلیل عملکرد راندگی دنا، بیده و کوه سیاه ناگهان به پیکر بلندی در کنار و موازی بخش زاگرس چین خورده قرار دارد [۲]. بالاترین ارتفاع منطقه ۴۳۰۰ متر و پایین‌ترین ارتفاع آن به ۱۹۷۱ متر می‌رسد. منطقه مورد مطالعه در حوضه شماره ۲ (خليج فارس و دریای عمان) و در دامنه شمالی قله دنا واقع شده است (شکل ۱).

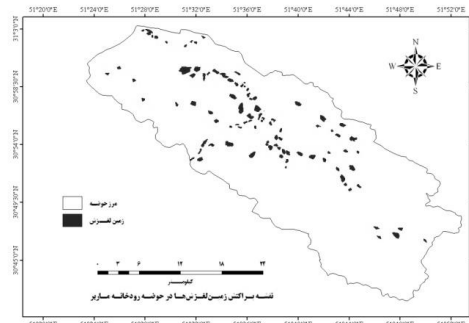


شکل ۱. موقعیت جغرافیایی حوضه رودخانه ماربر واقع در پادناه علیای سمیرم اصفهان

واحدهای همگن واحدهای هستند دارای ویژگی‌های مشترکی از نظر عوامل سنج‌شناختی (LIT)، شیب (SLP)، کاربری اراضی (LUS)، بارش (RAN)، پوشش گیاهی (RNG)، جهت شیب (ASP)، زمین‌لغزش (SLD) و نیز عناصر خطی مانند جاده (ROD)، گسل (FLT)، آبراهه (DRN)؛ و اینها به واسطه اختلاف در دست کم - یکی از عوامل ذکر شده، از واحدهای مجاورشان تمایز می‌یابند. به این ترتیب در مورد هر عامل می‌توان تعداد واحدهای همگن دارای لغزش را برگزید و مقدار تأثیر آنها را در وقوع زمین‌لغزش‌ها بررسی کرد و به مقدار کمی بدل ساخت [۲۱].

۲-۳-۲- کمی کردن عوامل مؤثر، وزن دادن به آنها
متغیرهای مورد استفاده در تحلیل خطر زمین‌لغزش در برخی از موارد کمی‌اند (عناصر خطی، بارش، شیب) و در مواردی هم کیفی هستند (جهت شیب، پوشش گیاهی، کاربری اراضی، لیتولوژی). بدین ترتیب، چون در روش‌های آماری از داده‌های کمی استفاده می‌شود و روش رگرسیون چندمتغیره خطی نیز روشی آماری است، لازم است که داده‌های کمی به داده‌های کمی تبدیل گردد. به منظور تبدیل داده‌های کیفی عوامل و وزن‌دهی کلاس‌های مختلف آنها، مساحت هر کلاس و درصد سطح لغزش‌یافته آن با واحدهای همگن محاسبه شد و به عنوان مبنای وزن‌دهی و در نهایت نیز کمی کردن پارامترها در رگرسیون چندمتغیره به کار رفت.
پس از تهیه نقشه واحدهای همگن، آن دسته از واحدهای همگنی که در آنها لغزش رخ داده بود، برای به دست آوردن درصد سطح لغزش‌یافته و وزن‌دهی به کلاس‌های هر یک از عوامل ۹ گانه در محیط ArcGIS Clip جدا شدند. همان‌طور که پیش‌تر نیز اشاره شد، کلاسه‌بندی عامل شیب و بارش و عناصر خطی با توجه به شکستهای طبیعی نمودار فراوانی تجمعی به دست آمدند و برای دیگر عوامل از محتویات موجود در هر نقشه استفاده شد. سپس جدول کلاسه‌بندی هر کدام از عوامل تنظیم گردید و براساس درصد سطح

دقیق‌تر لغزش‌ها با استفاده از بررسی‌های صحرایی و دستگاه GPS به نقشه درآمدند (شکل ۲).



شکل ۲. پرداخت زمین‌لغزش‌های حوضه رودخانه ماربر واقع در پادناه علیای سمیرم اصفهان

لازم به ذکر است که برای به دست آمدن واحدهای همگن و کمی کردن عوامل، در مورد برخی از عوامل مانند شیب، بارندگی، فاصله از آبراهه، گسل و جاده، نقشه هر عامل (به صورت محدوده‌های بافر از عناصر خطی) با توجه به ویژگی‌های آن عامل و با استفاده از نمودار فراوانی تجمعی پیکسل‌ها در برابر ارزش هر پیکسل استفاده شده است. بر روی این منحنی مناطقی که شیب منحنی تغییر می‌یابد، به عنوان مرز هر کلاس با کلاس دیگر در نظر گرفته شد. افزون بر اینها، رده‌بندی برای نقشه‌های جهت شیب، زمین‌شناسی، کاربری اراضی، و پوشش گیاهی - با توجه به محتویات هر لایه - انجام گرفت.

۲-۳-۲- انجام روش رگرسیون چندمتغیره (MR)، با استفاده از داده‌های گسسته

۲-۳-۱- تعیین واحدهای همگن

به منظور پنهان‌بندی خطر زمین‌لغزش در حوضه ماربر با روش رگرسیون خطی چندمتغیره، لایه‌های رقومی عوامل مؤثر و لایه پرداخت زمین‌لغزش‌ها برای به دست آمدن نقشه واحدهای همگن در محیط GIS و به وسیله ابزار Union هم‌پوشانی گردید و واحد همگن ایجاد شد. از میان واحدهای همگن به دست آمده، ۱۰۰ واحد آنها لغزش داشته‌اند. لازم به ذکر است که

معنی دار، و ضریب همبستگی (R) آنها ۰/۵۷ بوده است.
مدلی که سرانجام به دست آمده، بدین صورت است:

رابطه (۱)

$$Y = B_0 + B_1 * X_1 + B_2 * X_2 + \dots + B_n * X_n$$

Y = متغیر وابسته (رخداد زمین‌لغزش واحد همگن)
 B_0 = ضریب یا مقدار ثابت در معادله رگرسیون خطی، که در این تحقیق صفر به دست آمد.
 B_1 = ضریب یکم تا n متغیرهای مستقل (عوامل مؤثر طبیعی) معادله رگرسیون خطی.
 X_1 الی X_n = متغیرهای مستقل (عوامل مؤثر طبیعی) معادله رگرسیون خطی.
 مقادیر عددی ضرایب (B_1) الی (B_n) (ضرایب رگرسیونی) و همچنین متغیرهای مستقل (عوامل مؤثر طبیعی) معادله رگرسیون خطی X_1 الی X_n در جدول ۲ برای هر عامل و در جدول ۶ برای رده‌های هر عامل در منطقه مورد مطالعه آمده است. رابطه رگرسیونی مذکور در محیط Excel برای کلیه واحدهای همگن اعمال گردید، و وزن‌های به دست آمده برای واحدهای همگن به جدول اطلاعاتی لایه رقومی آنها در محیط GIS افزوده شد. پس از ترسیم نمودار فراوانی براساس وزن‌های به منظور مقایسه منطقی نتیجه به دست آمده همچنین به منظور گسترهای روش تحلیل سلسه‌مراتبی، حوضه در این روش با روش تحلیل سلسه‌مراتبی، حوضه رودخانه ماربر از نظر حساسیت نسبت به رخداد زمین‌لغزش به ۵ کلاس تقسیم گردید (جدول ۱) و نقشه پهنه‌بندی خطر زمین‌لغزش در حوضه با استفاده از روش رگرسیون چندمتغیره به دست آمد (شکل ۳).

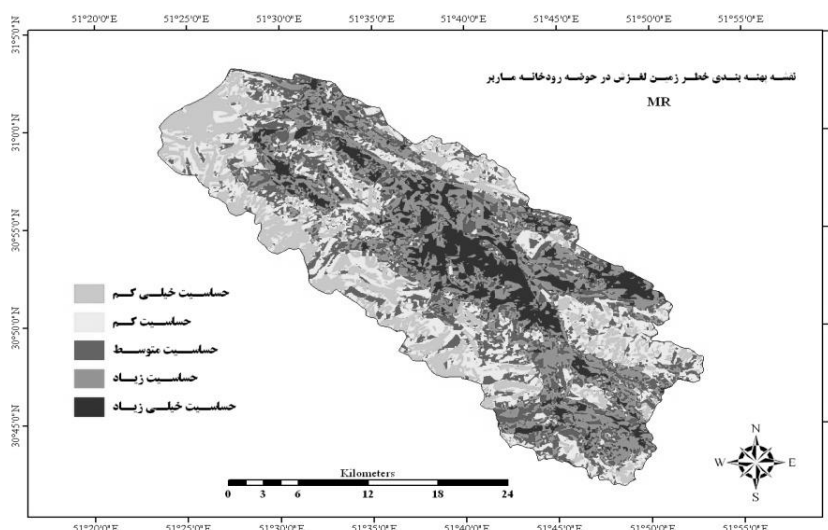
جدول ۱. گسترهای لغزشی حوضه رودخانه ماربر در روش رگرسیون چندمتغیره

گسترهای با حساسیت خیلی کم	$Y < 11$
گسترهای با حساسیت کم	$11 < Y < 20$
گسترهای با حساسیت متوسط	$20 < Y < 29$
گسترهای با حساسیت زیاد	$29 < Y < 40$
گسترهای با حساسیت خیلی زیاد	$40 < Y$

لغزش‌یافته در هر کلاس به آنها وزن داده شد. برای مثال، عامل بارش به سه کلاس تقسیم گردید: (۴۵۰-۶۵۰ میلی‌متر) Ran1، (۸۰۵-۸۵۰ میلی‌متر) Ran2، (۱۰۰۰-۸۵۰ میلی‌متر) Ran3 گفتنی است که به منظور دستیابی به هدف پژوهش، ابتدا واحدهای پیوسته مؤثر در لغزش (عوامل مؤثر) به داده‌های گسسته (کلاس‌های هر پارامتر) تبدیل گردیدند. سپس از نسبت مساحت سطح لغزش‌یافته به مساحت کل هر کلاس، به عنوان مبنای وزن دهی و نهایتاً کمی کردن پارامترها (به کمک رگرسیون چندمتغیره) استفاده شد. عدد به دست آمده برای هر پارامتر به درصد بدل گردید و به عنوان وزن اولیه آن پارامتر برای تشکیل معادله رگرسیونی در نظر گرفته شد. بدینهی است هر چه سطح لغزش‌یافته یکی از کلاس‌ها بیشتر باشد، اهمیت آن کلاس نسبت به رخداد زمین‌لغزش، و همچنین وزن آن بیشتر خواهد بود.

۲-۳-۳- تجزیه و تحلیل آماری و انجام رابطه رگرسیونی بین عوامل

به منظور انجام رگرسیون چندمتغیره بین عوامل مؤثر، پس از به دست آوردن وزن‌های اولیه کلاس‌های مختلف هر یک از عوامل، اطلاعات به محیط SPSS وارد شدند، که در آن ۵۴ کلاس مربوط به ۹ عامل مورد نظر به عنوان متغیرهای مستقل در برابر واحدهای همگن به تعداد ۲۷۴۶۶ تکرار گردیدند و عامل سطح زمین‌لغزش در هر واحد همگن به عنوان متغیر وابسته در نظر گرفته شد. در انتخاب روش رگرسیون چندمتغیره روش گام به گام (Stepwise) انتخاب شد که نتایج حاصل از اعمال این روش با درصد اطمینان بیش از ۹۵ درصد تعیین گردید. پس از انجام عملیات رگرسیونی از میان ۵۴ پارامتر دخالت داده شده در رگرسیون ۲۴ پارامتر به دلیل داشتن ضریب معنی داری کمتر از ۹۵ درصد و نداشتن رابطه آماری قوی با درصد سطح لغزش‌های رخداده در واحدهای همگن، حذف شده‌اند. ۳۰ پارامتر باقی‌مانده در سطح اطمینان بین ۹۵ تا ۹۹ درصد



شکل ۳. نقشه پهنه‌بندی خطر زمین لغزش در حوضه رودخانه ماربر به روش رگرسیون چندمتغیره (MR)

اولویت‌بندی و محاسبه وزن نسبی پارامترها از ضریب رگرسیونی آنها (جداوی ۲، ۳ و ۶) استفاده می‌شود و دیگر نظر کارشناسی اعمال نمی‌گردد. در این روش پارامتری که بیشترین مقدار ضریب رگرسیونی را دارد، بیشترین اهمیت یا ارجحیت را نیز نسبت به هدف دارد؛ و در ماتریس مقایسه زوجی بالاترین اولویت یعنی عدد ۱ و پارامتری که کمترین مقدار ضریب رگرسیونی را دارد، در عین حال دارای کمترین اهمیت یا ارجحیت نسبت به هدف است و در ماتریس مقایسه زوجی، پایین‌ترین اولویت - یعنی عدد ۹ - را به خود اختصاص می‌دهد [۳۳]. تمامی پارامترهایی که ضریب رگرسیونی‌شان صفر است، پارامترهای حذف شده از معادله رگرسیونی‌اند و برای آنها در ماتریس، اولویت یکسانی در نظر گرفته می‌شود. زیرا همان‌طور که در مبحث روش رگرسیون خطی بیان گردید، مقدار ضریب بیشتر نشانگر افزایش ناپایداری و پارامترهای حذف شده که دارای ضریب صفرند، نسبت به هدف (رخداد زمین‌لغزش) تأثیر خنثی داشته‌اند. در مرحله بعد، به تشکیل ماتریس مقایسه زوجی عوامل (جدول ۲) و نیز چنین ماتریسی برای کلاس‌های هر عامل، پرداخته می‌شود. ماتریس مقایسه زوجی کلاس‌های فاصله از

۴-۳-۲- انجام روش تحلیل سلسه‌مراتبی (AHP) با استفاده از داده‌ای (ضرایب رگرسیونی)

ساختار سلسه‌مراتبی به کار رفته در این روش، با آنچه که در تحلیل سلسه‌مراتبی با استفاده از دانش کارشناسی به کار می‌رود یکسان است و از نوع سلسه‌مراتبی وظیفه‌ای با ساختار ناقص؛ با این تفاوت که در روش دانش داده‌ای با استفاده از ضرایب رگرسیونی برای اولویت‌بندی (ارجحیت) عوامل و محاسبه وزن نسبی پارامترها از ضرایب رگرسیونی آنها (جدول ۲) استفاده نمی‌شود و نظر کارشناسی به منظور اولویت‌بندی عوامل یا رده‌های آنها، اعمال نمی‌گردد. نکته در خور توجه در این روش آن است که مقادیر ضرایب رگرسیونی به رغم کمک در تعیین عدد اولویت‌بندی (ارجحیت) نسبی عوامل، می‌تواند در تعیین فواصل یا نرخ ارجحیت در تحلیل سلسه‌مراتبی تأثیرگذار باشد.

۴-۳-۲-۱- ماتریس مقایسه زوجی و محاسبه وزن آیتم‌ها (عوامل و کلاس‌ها) همان‌طور که اشاره شد، در روش دانش داده‌ای برای

دارد، به دست آید. در جدول ۴ نتایج حاصل از نرمالیزه کردن ماتریس‌های مقایسه زوجی عوامل مؤثر، و در جدول ۵ نیز زیر عامل‌ها یا کلاس‌های فاصله از جاده (ROD) به عنوان نمونه آمده است. ستون متوسط (میانگین هر سطر) در ماتریس نرمالیزه وزن نسبی هر عنصر را نشان می‌دهد.

پس از محاسبه وزن نسبی عوامل، برای محاسبه وزن نهایی کلاس‌ها یا زیرعامل‌ها، وزن‌های نسبی هر عامل در زیرعامل‌های مربوط ضرب می‌گردد و وزن نهایی زیرعامل‌ها برای تحلیل سلسه‌مراقبه به کمک ضرایب رگرسیونی به دست می‌آید (جدول ۶). به عنوان مثال، کلاس یا زیرعامل فاصله از جاده ۰-۵۰۰ (RODI) با وزن نهایی ۰/۱۶۴ نتیجه حاصل ضرب عدد ۰/۲۹۱ (وزن نسبی عامل ROD) در عدد ۰/۵۶۳ (وزن نسبی کلاس RODI) است، که به ترتیب از جداول ۳ و ۵ به دست آمده‌اند. در شکل ۴، نقشه‌های وزنی عوامل مؤثر نشان داده شده است.

جاده (ROD) با ۴ کلاس جدول ۳ به عنوان نمونه آمده است. بدینه‌ی است که برای کلاس‌های ۸ عامل مؤثر دیگر نیز به همین صورت اقدام می‌گردد. پس از تشکیل ماتریس‌های مذکور مراحل تحلیل سلسه‌مراقبه برای پنهانه‌بندی، به شرحی که در ادامه ذکر می‌گردد، انجام می‌شود:

۲-۴-۳-۲- نرمال کردن داده‌ها و محاسبه وزن عوامل و کلاس‌ها

پس از تشکیل اولویت‌بندی، برای بی‌بعد کردن داده‌ها و به دست آوردن وزن پارامترها از روش میانگین حسابی (یکی از روش‌های تقریبی) استفاده می‌شود. بدین منظور، ابتدا جمع مقادیر هر یک از ستون‌ها به دست می‌آید، و سپس نسبت مقادیر هر پارامتر به جمع تمامی ستون‌های مربوط به آن پارامتر محاسبه می‌شود. در مرحله بعد میانگین مقادیر عناصر در هر سطر محاسبه می‌گردد تا وزن پارامتری که در آن سطر قرار

جدول ۲. ماتریس مقایسه زوجی عوامل مؤثر در رخداد زمین‌لغزش در حوضه رودخانه ماربر

ضریب رگرسیونی	معیارها	ROD	LIT	RNG	DRN	LUS	SLP	ASP	RAN	FAT
۰/۱۳۴۸	ROD	۱	۱	۴	۴	۵	۶	۷	۹	۹
۰/۱۳۳۰	LIT	۱	۱	۳	۳	۴	۵	۶	۹	۹
۰/۰۲۰۸	RNG	۰/۲۵۰	۰/۳۳۳	۱	۱	۳	۴	۵	۷	۷
۰/۰۲۰۳	DRN	۰/۲۵۰	۰/۳۳۳	۱	۱	۲	۳	۴	۶	۶
۰/۰۱۵۴	LUS	۰/۲۰۰	۰/۲۵۰	۰/۳۳۳	۰/۵۰۰	۱	۲	۳	۵	۵
۰/۰۱۰۷	SLP	۰/۱۶۷	۰/۲۰۰	۰/۲۵۰	۰/۳۳۳	۰/۵۰۰	۱	۲	۳	۳
۰/۰۰۲۰	ASP	۰/۱۴۳	۰/۱۶۷	۰/۲۰۰	۰/۲۵۰	۰/۳۳۳	۰/۵۰۰	۱	۲	۲
-۰/۰۲۵۷	RAN	۰/۱۱۱	۰/۱۱۱	۰/۱۴۳	۰/۱۶۷	۰/۲۰۰	۰/۳۳۳	۰/۵۰۰	۱	۱
-۰/۰۴۷۲	FAT	۰/۱۱۱	۰/۱۱۱	۰/۱۴۳	۰/۱۶۷	۰/۲۰۰	۰/۳۳۳	۰/۵۰۰	۱	۱
مجموع		۳/۲۳۲	۳/۵۰۶	۱۰/۰۶۹	۱۰/۴۱۷	۱۶/۲۳۳	۲۲/۱۶۷	۲۹	۴۳	۴۳

جدول ۳. ماتریس مقایسه زوجی کلاس‌های فاصله از جاده (ROD)

ضریب رگرسیونی	فاصله از جاده (متر)	(ROD1) ۰-۵۰۰	(ROD2) ۵۰۰-۱۰۰۰	(ROD3) ۱۰۰۰-۵۰۰۰	(ROD4) ۵۰۰۰<
۰/۲۳۸۰	(ROD1) ۰-۵۰۰	۱	۳	۵	۷
۰/۱۷۵۰	(ROD2) ۵۰۰-۱۰۰۰	۰/۳۳۳	۱	۳	۵
۰/۰۹۰۹	(ROD3) ۱۰۰۰-۵۰۰۰	۰/۲	۰/۳۳۳	۱	۲
۰/۰۳۵۳	(ROD4) ۵۰۰۰<	۰/۱۴۲	۰/۲	۰/۵	۱
	مجموع	۱/۶۷۶	۴/۵۳۳	۹/۵	۱۵

جدول ۴. ماتریس نرمال داده‌ها و محاسبه وزن عناصر با استفاده از روش میانگین حسابی

معیارها	ROD	LIT	RNG	DRN	LUS	SLP	ASP	RAN	FLT	میانگین(وزن نسبی عامل)
ROD	۰/۳۰۹۴	۰/۲۸۵۳	۰/۳۹۷۳	۰/۳۸۴۰	۰/۳۰۸۰	۰/۲۷۰۷	۰/۲۴۱۴	۰/۲۰۹۳	۰/۲۰۹۳	۰/۲۹۱
LIT	۰/۳۰۹۴	۰/۲۸۵۳	۰/۲۹۷۹	۰/۲۸۸۰	۰/۲۴۶۴	۰/۲۲۵۶	۰/۲۰۶۹	۰/۲۰۹۳	۰/۲۰۹۳	۰/۲۵۳
RNG	۰/۰۷۷۴	۰/۰۹۵۱	۰/۰۹۹۳	۰/۰۹۶۰	۰/۱۸۴۸	۰/۱۸۰۵	۰/۱۷۲۴	۰/۱۶۲۸	۰/۱۶۲۸	۰/۱۳۷
DRN	۰/۰۷۷۴	۰/۰۹۵۱	۰/۰۹۹۳	۰/۰۹۶۰	۰/۱۲۳۲	۰/۱۳۵۳	۰/۱۳۷۹	۰/۱۳۹۵	۰/۱۳۹۵	۰/۱۱۶
LUS	۰/۰۶۱۹	۰/۰۷۱۳	۰/۰۳۳۱	۰/۰۴۸۰	۰/۰۶۱۶	۰/۰۹۰۲	۰/۱۰۳۴	۰/۱۱۶۳	۰/۱۱۶۳	۰/۰۷۸
SLP	۰/۰۵۱۶	۰/۰۵۷۱	۰/۰۲۴۸	۰/۰۳۲۰	۰/۰۳۰۸	۰/۰۴۵۱	۰/۰۶۹۰	۰/۰۶۹۸	۰/۰۶۹۸	۰/۰۵۰
ASP	۰/۰۴۴۲	۰/۰۴۷۶	۰/۰۱۹۹	۰/۰۲۴۰	۰/۰۲۰۵	۰/۰۲۲۶	۰/۰۳۴۵	۰/۰۴۶۵	۰/۰۴۶۵	۰/۰۳۴
RAN	۰/۰۳۴۴	۰/۰۳۱۷	۰/۰۱۴۲	۰/۰۱۶۰	۰/۰۱۲۳	۰/۰۱۵۰	۰/۰۱۷۲	۰/۰۲۳۳	۰/۰۲۳۳	۰/۰۲۱
FLT	۰/۰۳۴۴	۰/۰۳۱۷	۰/۰۱۴۲	۰/۰۱۶۰	۰/۰۱۲۳	۰/۰۱۵۰	۰/۰۱۷۲	۰/۰۲۳۳	۰/۰۲۳۳	۰/۰۲۱
مجموع	۱	۱	۱	۱	۱	۱	۱	۱	۱	۱

جدول ۵. ماتریس نرمالیزه کلاس‌های فاصله از جاده (ROD)

فاصله از جاده (متر)	(ROD1) ۰-۵۰۰	(ROD2) ۵۰۰-۱۰۰۰	(ROD3) ۱۰۰۰-۵۰۰۰	(ROD4) ۵۰۰۰<	میانگین وزن نسبی کلاس)
(ROD1) ۰-۵۰۰	۰/۵۹۷	۰/۶۶۲	۰/۵۲۶	۰/۴۶۷	۰/۵۶۳
(ROD2) ۵۰۰-۱۰۰۰	۰/۱۹۹	۰/۲۲۱	۰/۳۱۶	۰/۳۳۳	۰/۲۶۷
(ROD3) ۱۰۰۰-۵۰۰۰	۰/۱۱۹	۰/۰۷۴	۰/۱۰۵	۰/۱۳۳	۰/۱۰۸
(ROD4) ۵۰۰۰<	۰/۰۸۵	۰/۰۴۴	۰/۰۵۳	۰/۰۶۷	۰/۰۶۲
مجموع	۱	۱	۱	۱	۱

۴-۳-۲- اعمال اولویت‌بندی‌ها و پهن‌بندی حوضه

برای به‌دست آمدن مدل نهایی یا نقشه پهن‌بندی، ابتدا مجموع حاصل ضرب وزن نسبی کلاس در وزن نسبی هر عامل محاسبه می‌شود، تا وزن نهایی عوامل ۹ گانه به‌دست آید (رابطه ۴).

(رابطه ۴)

$$W = ((C1.X) + (C2.X) + \dots + (Cn.X))$$

W = وزن نهایی عامل،

C = وزن نسبی کلاس،

X = وزن نسبی عامل

از حاصل جمع وزن نهایی عوامل، مدل پهن‌بندی استخراج می‌گردد (رابطه ۵).

(رابطه ۵)

$$M = (W1 + W2 + \dots + Wn)$$

M = مدل نهایی، W = وزن نهایی عوامل

برای انجام محاسبات یاد شده و اعمال صحیح اوزان به‌دست آمده برای تک‌تک پارامترها و به‌دست آوردن خروجی مدل یعنی نقشه پهن‌بندی خطر زمین‌لغزش، استفاده از نرم‌افزار ArcGIS9.3 اجتناب‌ناپذیر است. در محیط GIS، مدل مورد نظر را می‌توان با روش‌های مختلفی چون Weighted Sum، Weighted Overlay، Weighted AHP و Extention AHP تهیه کرد. در این پژوهش به منظور ارائه مدل نهایی، از روش Weighted Sum - به دلیل در نظر گرفتن وزن نسبی هر عامل و اعمال آن در وزن نسبی کلاس‌های هر عامل به صورت همزمان و یک‌جا - استفاده شد؛ و لایه به‌دست آمده براساس شکست‌های طبیعی نمودار فراوانی پیکسل‌ها و با هدف مقایسه نتایج با روش رگرسیون چندمتغیره به ۵ کلاس لغزشی تقسیم گردید (جدول ۷). شکل ۵ نقشه پهن‌بندی خطر رخداد زمین‌لغزش در حوضه ماربر را با استفاده از روش تحلیل سلسه‌مراتبی با داده‌های کمی، نشان می‌دهد.

۳-۴-۳-۲- محاسبه نرخ ناسازگاری داده‌ها

نرخ ناسازگاری، معیاری است برای سنجش معناداری و دقیقت داده‌های وارد شده در ماتریس‌ها و مقدار مناسب و پذیرفتی آن در روش تحلیل سلسه‌مراتبی کمتر از ۰/۱ است [۳۳]. برای محاسبه میزان ناسازگاری ماتریس، پس از تشکیل ماتریس مقایسه زوجی (A) و به‌دست آوردن بردار وزن (W)، ماتریس مقایسه زوجی (A) در بردار وزن (W) ضرب می‌شود تا تخمین مناسبی از $\lambda_{\max} W$ به دست آید. به عبارتی $W \times W = \lambda_{\max} W$ است. با تقسیم $\lambda_{\max} W$ بر W مربوط، مقدار λ_{\max} محاسبه می‌شود. پس محاسبه متوسط λ_{\max} مقدار شاخص ناسازگاری را می‌توان از طریق رابطه (۲) محاسبه کرد [۳۳].

(رابطه ۲)

$$I.I. = \frac{\lambda_{\max} - n}{n - 1}$$

$I.I.$ = شاخص ناسازگاری، n = بعد ماتریس

نرخ ناسازگاری نیز از رابطه (۳) به‌دست می‌آید:

(رابطه ۳)

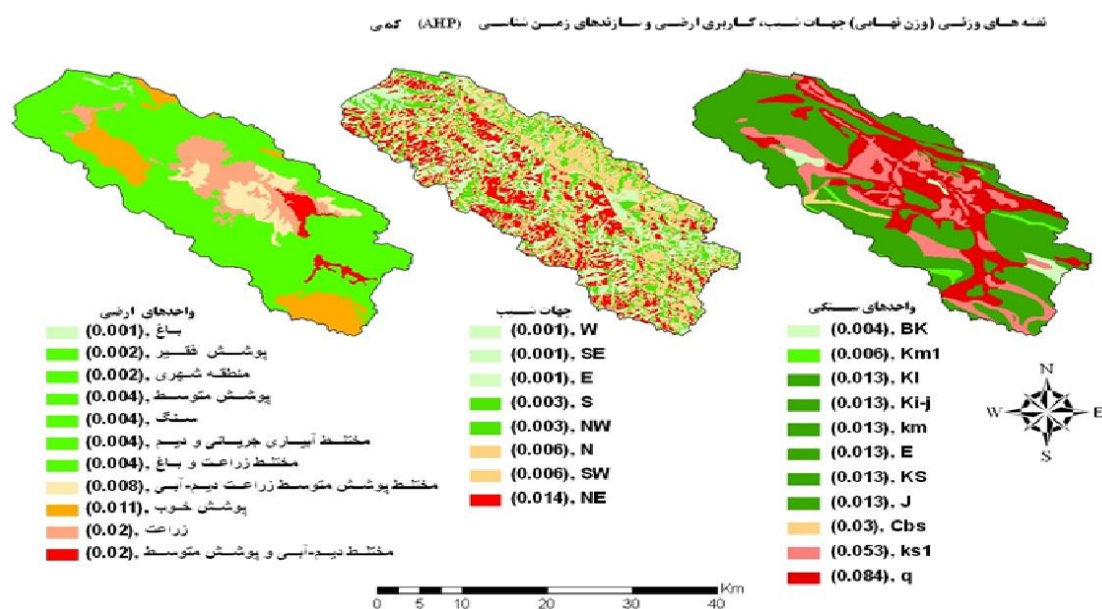
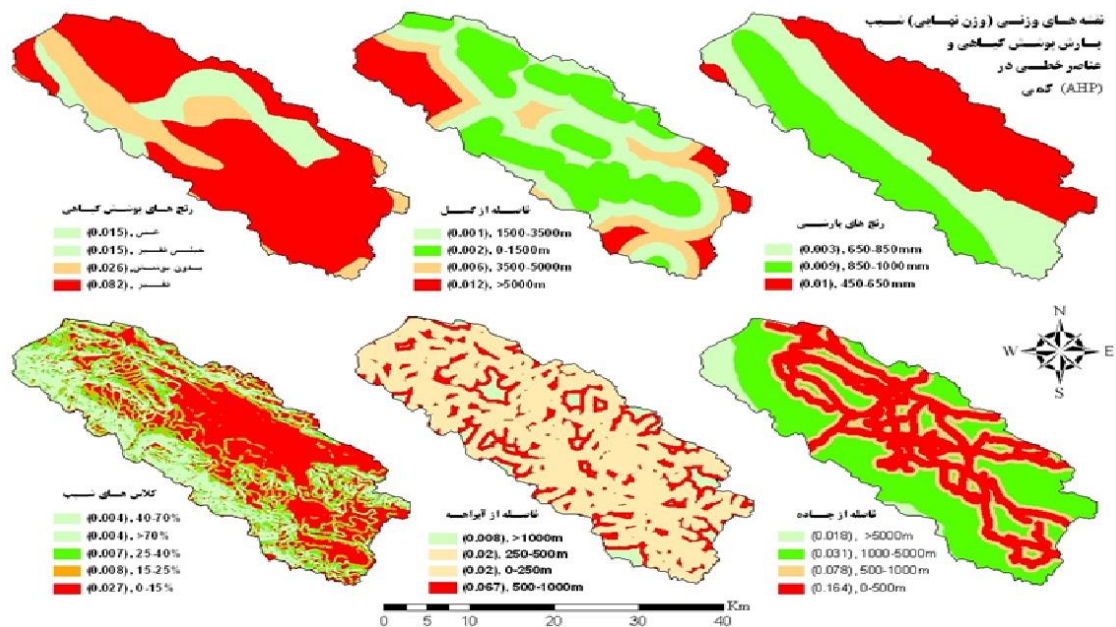
$$I.R. = \frac{I.I.}{I.I.R.}$$

$I.I.R.$ = نرخ ناسازگاری ماتریس‌های تصادفی،

$I.R.$ = نرخ ناسازگاری.

بدین ترتیب، برای محاسبه نرخ ناسازگاری داده‌ها از روش میانگین حسابی استفاده شد، و مقدار آن برای ماتریس عوامل مؤثر (جدول ۲) به‌دست آمد، که پذیرفتی است.

مراحل مذکور برای تمامی کلاس‌های هر عامل به صورت جداگانه و براساس ضرایب رگرسیونی اختصاص یافته، مطابق آنچه که پیش‌تر تشریح گردید، انجام گرفت تا وزن هر کلاس نسبت به کلاس‌های دیگر با توجه به هدف (رخداد زمین‌لغزش) به‌دست آید. سپس ناسازگاری تمامی داده‌ها کنترل گردید. نتایج به‌دست آمده، در جدول ۶ نشان داده شده است.



شکل ۴. نقشه وزنی عوامل مؤثر به روش AHP با استفاده از ضرایب رگرسیونی

صحت سنجی روش تحلیل سلسله مراتبی ...

کورش شیرانی و همکاران

جدول ۶. نتایج به دست آمده برای هر کلاس پس از طی مراحل سلسله مراتبی

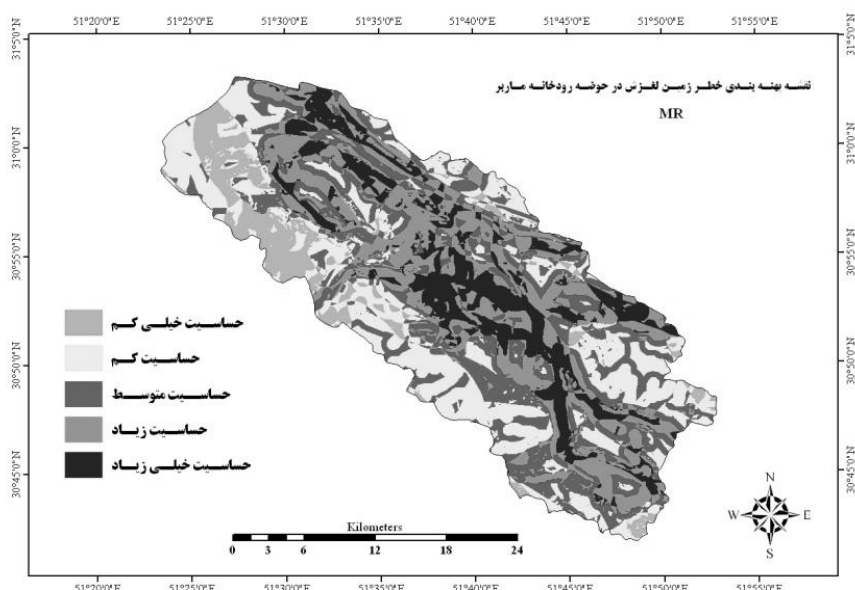
کد عامل	وزن نسبی عامل	کد کلاس	نام کلاس	ضریب رگرسیونی	وزن نسبی کلاس	وزن نهایی	کد عامل	کد کلاس	نام کلاس	ضریب رگرسیونی	وزن نسبی کلاس	وزن نهایی	
ROD	۲۹۱/۰	ROD1	0-500m	۰/۲۳۸۰	۰/۵۶۳	۰/۱۶۴	FLT	۰۰۲۱	FLT1	0-1500m	-۰/۰۷۲۴	۰/۱۰۸	۰/۰۰۲
		ROD2	500-1000m	۰/۱۷۵۰	۰/۲۶۷	۰/۰۷۸			FLT2	1500-3500m	-۰/۰۷۷۵	۰/۰۶۲	۰/۰۰۱
		ROD3	1000-5000m	۰/۰۹۰۹	۰/۱۰۸	۰/۰۳۱			FLT3	3500-5000m	-۰/۰۳۸۹	۰/۲۶۷	۰/۰۰۶
		ROD4	>5000m	۰/۰۳۵۳	۰/۰۶۲	۰/۰۱۸			FLT4	>5000m	•	۰/۵۶۳	۰/۰۱۲
DRN	۱۱۶/۰	DRN1	0-250m	•	۰/۱۷۴	۰/۰۲۰	RNG	۰۱۳۷	RNG1	بدون پوشش	•	۰/۱۹۱	۰/۰۲۶
		DRN2	250-500m	•	۰/۱۷۴	۰/۰۲۰			RNG2	فقیر	۰/۰۸۳۳	۰/۵۹۶	۰/۰۸۲
		DRN3	500-1000m	۰/۱۰۵۹	۰/۵۸۱	۰/۰۶۷			RNG3	خیلی فقیر	•	۰/۱۰۷	۰/۰۱۵
		DRN4	>1000m	-۰/۰۲۴۸	۰/۰۷۱	۰/۰۰۸			RNG4	غنى	•	۰/۱۰۷	۰/۰۱۵
RAN	۰۲۱/۰	RAN1	450-650mm	•	۰/۴۵۸	۰/۰۱۰	ASP	۰۳۴/۰	ASP1	E	-۰/۰۱۹۲	۰/۰۳۹	۰/۰۰۱
		RAN2	650-850mm	-۰/۰۲۵۷	۰/۱۲۶	۰/۰۰۳			ASP2	N	۰/۰۲۱۴	۰/۱۷۴	۰/۰۰۶
		RAN3	850-1000mm	•	۰/۴۱۶	۰/۰۰۹			ASP3	NE	۰/۰۷۸۸	۰/۴۰۶	۰/۰۱۴
SLP	۰۵/۰	SLP1	0-15%	۰/۰۵۳۵	۰/۵۳۷	۰/۰۲۷			ASP4	NW	•	۰/۰۷۶	۰/۰۰۳
		SLP2	15-25%	۰/۰۰۸۰	۰/۱۶۶	۰/۰۰۸			ASP5	S	•	۰/۰۷۶	۰/۰۰۳
		SLP3	25-40%	۰/۰۰۳۰	۰/۱۳۱	۰/۰۰۷			ASP6	SE	-۰/۰۲۱۷	۰/۰۲۹	۰/۰۰۱
		SLP4	40-70%	•	۰/۰۸۳	۰/۰۰۴			ASP7	SW	۰/۰۲۳۶	۰/۱۸۰	۰/۰۰۶
		SLP5	>70%	•	۰/۰۸۳	۰/۰۰۴			ASP8	W	-۰/۰۶۹۶	۰/۰۱۹	۰/۰۰۱
LIT	۷۵۳/۰	LIT1	بختیاری	-۰/۰۳۶۸	۰/۰۱۷	۰/۰۰۴	LUS	۰۷۸/۰	LUS1	کشاورزی	۰/۰۸۳۰	۰/۲۵۱	۰/۰۲۰
		LIT2	میلا	۰/۰۴۳۳	۰/۱۱۹	۰/۰۳۰			LUS2	باغ	-۰/۰۴۴۶	۰/۰۱۶	۰/۰۰۱
		LIT3	کشکان	•	۰/۰۵۱	۰/۰۱۳			LUS3	مرتع خوب	۰/۰۴۸۹	۰/۱۴۰	۰/۰۱۱
		LIT4	سورمه	•	۰/۰۵۱	۰/۰۱۳			LUS4	مختلط (کشت دیم، آبی و مرتع متوسط)	۰/۰۸۳۱	۰/۲۵۱	۰/۰۲۰
		LIT5	گورپی	•	۰/۰۵۱	۰/۰۱۳			LUS5	مختلط (مرتع متوسط، کشت دیم و آبی)	۰/۰۳۴۸	۰/۱۰۲	۰/۰۰۸
		LIT6	ایلام	-۰/۰۱۱۱	۰/۰۲۳۰	۰/۰۰۶			LUS6	مرتع متوسط	•	۰/۰۴۷	۰/۰۰۴
		LIT7	ایلام-سرورک	•	۰/۰۵۰۵	۰/۰۱۳			LUS7	مرتع فقیر	-۰/۰۲۰۵	۰/۰۲۱	۰/۰۰۲
		LIT8	گورپی ۲	۰/۰۶۰۳	۰/۲۰۴۶	۰/۰۵۲			LUS8	شهر	-۰/۰۱۵۷	۰/۰۳۱	۰/۰۰۲
		LIT9	کواترنر	۰/۰۹۰۸	۰/۳۳۳۸	۰/۰۸۴			LUS9	مختلط (کشت دیم و آبی)	•	۰/۰۴۷	۰/۰۰۴
		LIT10	داریان	•	۰/۰۵۰۵	۰/۰۱۳			LUS10	سنگ	•	۰/۰۴۷	۰/۰۰۴
		LIT11	داریان-فهلیان	•	۰/۰۵۰۵	۰/۰۱۳			LUS11	مختلط (زراعت و باغ)	•	۰/۰۴۷	۰/۰۰۴

جدول ۷. گسترده‌های لغزشی حوضه رودخانه ماربر در روش تحلیل سلسله مراتبی

گسترده‌های با حساسیت خیلی کم	۰/۰۷۴-۰/۱۴۲
گسترده‌های با حساسیت کم	۰/۱۴۲-۰/۲
گسترده‌های با حساسیت متوسط	۰/۲۰-۰/۲۷۱
گسترده‌های با حساسیت زیاد	۰/۲۷۱-۰/۳۴۷

گسترهای با حساسیت خلیی زیاد

۰/۳۴۷-۰/۴۶۸



شکل ۵. نقشه پهنگ‌بندی خطر رخداد زمین‌لغزش در روش تحلیل سلسله‌مراتبی (AHP) با استفاده از ضرایب رگرسیونی

۱-۴-۲- صحت یا مجموع کیفیت (QS)

برای تعیین مجموع کیفیت، لازم است ابتدا نسبت تراکمی محاسبه گردد، که این محاسبه در قالب رابطه (۶) صورت می‌پذیرد [۹ و ۱۲].

$$Dr = \frac{\sum_{i=1}^n Si}{\sum_{f=1}^n Ai} \quad (6)$$

که در آن: Si = مجموع مساحت زمین‌لغزش‌های واقع در هر رده خطر؛ Ai = مساحت آمین رده خطر در یک نقشه پهنگ‌بندی؛ و n = تعداد رده‌های خطر.

در یک روش (نقشه) پهنگ‌بندی، تراکم لغزش رده با $Dr=1$ معادل با متوسط تراکم لغزش در کل منطقه و رده دارای نسبت تراکمی ۲، دارای تراکم لغزشی معادل با دو برابر تراکم لغزش منطقه است. بنابراین هر چه تفکیک بین رده‌های خطر به وسیله شاخص نسبت تراکم بهتر صورت گرفته باشد، روش (نقشه) دارای

۲-۴- صحت‌سنجی و مقایسه روش‌های مورد استفاده

در این مرحله با تلاقي نقشه پراکنش زمین‌لغزش‌های حوضه و نقشه‌های پهنگ‌بندی خطر در محیط GIS، به ارزیابی و مقایسه روش‌های پهنگ‌بندی خطر زمین‌لغزش، با استفاده از روش مجموع کیفیت (QS) و دقق (P) پرداخته می‌شود و مدل مناسب منطبق با منطقه مورد بررسی، انتخاب می‌گردد. برای ارزیابی و مقایسه دقق بین پهنگ‌ها یا رده‌های خطر در هر روش از روش‌های پهنگ‌بندی، نسبت تراکم (Dr) به کار می‌رود [۳۷ و ۳۸، ۳۶، ۳۵، ۳۴، ۳۲، ۲۵، ۲۰، ۲۳، ۱۵، ۱۴، ۱۳، ۸، ۹، ۱۲].

پس از برداشت لغزش‌ها و تهیه نقشه پهنگ‌بندی خطر زمین‌لغزش به روش‌های آماری چندمتغیره (MR) و تحلیل سلسله‌مراتبی (AHP)، برای تطبیق این نقشه‌ها با نقشه واقعیت زمینی و مقایسه آنها با یکدیگر، از رابطه مجموع کیفیت (Qs) یا همان صحت روش، استفاده شد [۱۲، ۲۵ و ۳۴].

نتایج حاصل از پردازش به صورت کمی ارائه می‌شود. اما روش تحلیل سلسله‌مراتبی سیستم‌ها بر مقایسه زوجی معیارها استوار است و ابتدا با وزن دهنی به تک‌تک عوامل در نظر گرفته شده و سپس امتیازدهی به هر کدام از کلاس‌های مربوط به هر معیار، ضرایبی به دست می‌آیند که مدل نهایی براساس آنها ارائه می‌گردد [۳۳].

برای ارزیابی و طبقه‌بندی نقشه‌های خطر لغزش زمین، از دو شاخص با عنایون نسبت تراکم (DR^۱) رابطه (۶) و مجموع کیفیت (QS^۲) رابطه (۷) استفاده گردید. لازم به ذکر است که شاخص زمین‌لغزش (LI^۳) به کار برده شده به وسیله ون وستن (۱۹۹۷)، شیرانی (۱۳۸۳)، شیرانی (۱۳۸۵) معادل همان نسبت تراکمی (Dr) است که شیرانی (۱۳۸۴)، جی (۱۹۹۲)، شریعت جعفری (۱۳۸۷) به کار برده‌اند [۳۵ و ۳۴ و ۳۴، ۸، ۹]. به طور کلی شاخص زمین‌لغزش (LI) و نسبت تراکمی (Dr) و پیش‌بینی^۴ (P)، برای ارزیابی و مقایسه دقت بین پهنه‌ها یا رده‌های خطر در هر روش از روش‌های پهنه‌بندی و شاخص مجموع کیفیت (QS) برای ارزیابی و مقایسه بین روش‌های مختلف کاربرد دارد. از آنجا که روش AHP به منظور تصمیم‌گیری نهایی در مورد هدف (نقشه خطر لغزش) بر قضاوت کارشناسی و مقایسه زوجی صفات (عوامل مؤثر در لغزش) مبتنی است، لذا در این تحقیق از ضرایب متغیرهای مستقل حاصل از روش رگرسیونی به منظور حذف نظر کارشناسی در مدل تحلیل سلسله‌مراتبی (AHP) بهره گرفته شد و اقدام به تنظیم ماتریس داده‌ها گردید. این در حالی است که محققانی چون شادر، از روش تحلیل سلسله‌مراتبی (AHP) براساس قضاویت کارشناسی استفاده کرده‌اند [۲۳].

نتایج حاصل از داده‌های جدول ۸ بیانگر آن است

1. Density Ratio
2. Quality Sum
3. Landslide Index
4. Results Precision of the Predicted

دقت یا مطلوبیت بیشتری است.

مقدار مجموع کیفیت (QS) که از طریق رابطه (۶) محاسبه می‌گردد، نشان‌دهنده صحت یا مطلوبیت عملکرد روش در پیش‌بینی خطر رانش زمین در منطقه است. معمولاً مقدار این شاخص برای روش‌های مختلف در گستره صفر و ۷ قرار می‌گیرد. البته از بعد نظری (تئوریک) حدی برای آن وجود ندارد. در ارزیابی روش‌ها هر چه مقدار مجموع کیفیت (QS) در روشنی بیشتر باشد، آن روش صحت یا مطلوبیت بیشتری در تفکیک خواهد داشت. مقدار مجموع کیفیت از رابطه (۷) به دست می‌آید [۳۴ و ۳۴، ۸، ۹، ۱۵].

رابطه (۷)

$$QS = \sum_{i=1}^n ((Dr_i - 1)^2 \times S_i)$$

QS = مجموع کیفیت؛ Dr_i = نسبت تراکم؛ S_i = نسبت مساحت هر رده خطر به مساحت کل منطقه؛ و n = تعداد کلاس خطر

۲-۴-۲- دقت روش (P)

عبارت است از نسبت مساحت سطح لغزش‌یافته در پهنه‌های خطر بالا و خیلی بالا به مساحت کل آن پهنه‌ها (رابطه ۸) [۱۵].

$P = KS/S$ رابطه (۸)

P = دقت روش در پهنه‌های دارای خطر متوسط به بالا

KS = مساحت سطح لغزش‌یافته در پهنه‌های دارای خطر متوسط به بالا

S = مساحت پهنه‌های خطر مرتبط

۳- نتایج و بحث

در روش رگرسیون چندمتغیره، رابطه متقابل بین متغیرهای مستقل (عوامل مؤثر) نسبت به یکدیگر و نسبت به متغیر وابسته (رخداد زمین‌لغزش)، یکجا در نظر گرفته می‌شود [۳۲]. در این روش داده‌های اولیه و

به عبارت دیگر انطباق بهتری با پتانسیل لغزش خیزی منطقه خواهد داشت. در این مورد روش سلسله‌مراتبی مبتنی بر به کارگیری ضرایب حاصل از روش رگرسیونی (روش تلفیقی)، به رغم موارد پیش‌گفته، به دلیل مقایسه زوجی بین عوامل و کلاس‌های مورد نظر ارجحیت بیشتری را نشان می‌دهد (جدول ۸).

از آنجا که اولویت‌بندی داده‌ها یا عوامل مؤثر در مدل AHP به صورت قضاوت کارشناسی تعیین می‌گردد، لذا کاربرد آن بدون کاهش یا حذف قضاوت کارشناسی، موجب به دست آمدن برآوردهای نادرستی از رخداد خطر زمین‌لغزش خواهد شد.

محدودیت تکنیکی و پردازشی در به کارگیری صرف‌مدل رگرسیونی با استفاده از داده‌های پیوسته و رویکرد اجتناب‌نایابی تبدیل داده‌ها به داده‌های گستته به منظور پردازش، تجزیه و تحلیل عوامل مؤثر را با مشکل و محدودیت رو به رو می‌سازد و موجب کاهش انطباق مدل (نقشه) با پتانسیل لغزش خیزی منطقه می‌شود.

رده‌بندی متفاوت مدل نهایی از نظر حساسیت لغزشی، در صورتی که از روال مشخصی در تعیین حدود رده‌های خطر لغزش استفاده نگردد، موجب ارزیابی نادرست از مدل مورد استفاده خواهد گردید. به عنوان مثال عدم توجه به نقاط عطف منحنی تجمعی فراوانی مساحت لغزش‌ها نسبت به مساحت کل هر رده خطر. در پاسخ به مسئله اساسی این تحقیق، می‌توان اشاره کرد که با استفاده از ضرایب رگرسیونی برای انجام فرایند تحلیل سلسله‌مراتبی، علاوه بر اینکه می‌توان نقش هر عامل را بر لغزش بررسی کرد بلکه تأثیر همزمان پدیده‌های مستقل در طبیعت نیز مد نظر قرار خواهند گرفت. از این نظر، ضرایب معادله خط رگرسیونی برازش داده شده، به عنوان وزن کتی عوامل مؤثر در ماتریس اولیه تحلیل سلسله‌مراتبی (AHP) (روش تلفیقی) محاسبه می‌شوند و بدین ترتیب، نقشه نهایی خطر زمین‌لغزش، انطباق بیشتری با پتانسیل لغزه‌خیزی منطقه خواهد داشت. این در حالی است که

که در هر دو روش، نسبت تراکمی (Dr) - که همان مقادیر شاخص زمین‌لغزش (LI) مربوط به پهنه‌های خطی است که ون وستن (۱۹۹۷، ۱۹۹۸) اشاره کرده است [۳۶ و ۳۵، ۱۴] - ضمن تفکیک‌پذیری جدی، متناسب با افزایش خطر پهنه‌ها، رو به فرونی نهاده است. به علاوه، دقت هر روش نیز در این جدول ارائه شده است که نشان‌گر دقت خوب تفکیک‌پذیری هر دو روش است که در مورد روش رگرسیونی مؤید تحقیق شیرانی (۱۳۸۶) و پژم (۱۳۷۵) نیز هست. [۷ و ۹]. به علاوه، همان‌طور که در جدول ۶ آمده است، مقدار شاخص مجموع کیفیت (Qs) که مقایسه و ارزیابی روش‌ها را در قیاس با یکدیگر نشان می‌دهد، در روش تحلیل سلسله‌مراتبی (AHP) مقدار بیشتری (۰/۴۵) از روش رگرسیونی (۰/۴۲) به دست آورده است، و به عبارت دیگر مطلوبیت بهتری دارد. این در حالی است که دقت پیش‌بینی خطر (P) در هر دو روش برابر ۰/۰۳ است، و این موضوع تفکیک‌پذیری یکسان و مناسب پهنه‌های خطر را نیز تأیید می‌کند.

۴- نتیجه‌گیری و پیشنهادها

با توجه به سوابق تحقیق، نتایج حاصل از مدل‌سازی با استفاده از این دو روش، دقت‌های متفاوتی را نشان می‌دهد. در صورتی که براساس این پژوهش دقت (P) که نشان از تفکیک‌پذیری پهنه‌های خطر در هر روش دارد، در هر دو روش تقریباً یکسان است و محدودیتی برای دخالت دادن پارامترها (۳۰ پارامتر در روش رگرسیون چندمتغیره یا ۵۴ پارامتر در روش سلسله‌مراتبی) به چشم نمی‌خورد. اختلاف در صحت یا مطلوبیت (QS) که بیان کننده ارجحیت روش‌هاست، می‌تواند ناشی از مواردی از این دست باشد: یکسان نبودن پارامترها و عوامل شرکت‌دهنده در فرایندها، هنگامی که هدف همانا مقایسه باشد. به عبارت دیگر، ماهیت ذاتی پارامترها یا عوامل مؤثر متفاوت‌اند و روشی که بتواند اولویت عوامل مؤثر و مقدار وزن آن را با هم‌دیگر محاسبه کند، دارای صحت بیشتری است، و

رخداد زمین‌لغزش مؤثر بوده است. همان‌طور که پیش‌تر نیز اشاره شد، به‌طور کلی شاخص نسبت تراکمی (Dr) و پیش‌بینی (P)، برای ارزیابی و مقایسه دقت بین پهنه‌ها یا رده‌های خطر در هر روش از روش‌های پهنه‌بندی کاربرد دارد و براساس جدول ۵ تفکیک‌پذیری پهنه‌های خطر در هر دو روش یکسان ($0/03$) هستند. اما با توجه به اینکه شاخص مجموع کیفیت (Qs) برای ارزیابی و مقایسه روش‌های مختلف کاربرد دارد، لذا روش تحلیل سلسله‌مراتبی مبتنی بر اوزان عوامل مؤثر حاصل از رگرسیون چندمتغیره، مطلوبیت (Qs) و کارایی بهتری در قیاس با روش رگرسیونی در منطقه مورد مطالعه دارد.

محققان پیشین، صرفاً از دو روش مذکور به صورت مجزا در پهنه‌بندی خطر زمین‌لغزش استفاده می‌کردند و به مقایسه آنها با همیگر می‌پرداختند.

در روش رگرسیون خطی و تحلیل سلسله‌مراتبی داده‌ای عوامل فاصله از جاده، لیتوژئی، پوشش گیاهی، فاصله از آبراهه، کاربری اراضی، شب، جهت شب، بارش و فاصله از گسل به ترتیب بیشترین تأثیر را در رخداد زمین‌لغزش داشته‌اند.

از میان کلاس‌های تعیین شده، با توجه به وزن نهایی آنها در روش رگرسیون خطی و سلسله‌مراتبی داده‌ای کلاس وجه شب غربی کمترین تأثیر را داشته، و کلاس $500-0$ متر فاصله از جاده، بیش از همه در

جدول ۸. صحت و دقت روش‌های پهنه‌بندی خطر زمین‌لغزش در منطقه مورد بررسی

مدل پهنه‌بندی	رده حساسیت نسبت به خطر لغزش	(Ai) مساحت پهنه (Km ²)	(Si) مساحت لغزش پهنه (Km ²)	(Dr) نسبت تراکمی	(S) درصد مساحت	(Qs) در رده ۵	(Qs) مجموع کیفیت	(P) دقت روش
AHP	خیلی کم	۶۹/۳۰	۰/۳۲	۰/۲۲	۰/۰۹	۰/۰۵	۰/۴۵	۰/۰۳
	کم	۲۰۷/۴۸	۱/۲۵	۰/۲۹	۰/۲۶	۰/۱۳		
	متوسط	۲۰۳/۵۷	۳/۵۱	۰/۸۴	۰/۲۵	۰/۰۱		
	زیاد	۱۲۲/۶۸	۵/۴۴	۱/۴۸	۰/۱۵	۰/۰۶		
	خیلی زیاد	۱۹۷/۱۲	۶/۰۳	۲/۱۵	۰/۲۵	۰/۲۰		
	جمع	۸۰۰/۱۵	۱۶/۵۰					
MR	خیلی کم	۱۳۳/۴۸	۰/۴۳	۰/۱۶	۰/۱۷	۰/۱۱۹	۰/۴۲	۰/۰۳
	کم	۱۸۹/۳۷	۲/۲۳	۰/۵۷	۰/۲۴	۰/۰۴۳		
	متوسط	۱۹۰/۴۸	۳/۴۰	۰/۸۷	۰/۲۴	۰/۰۰۴		
	زیاد	۱۰۲/۲۳	۴/۷۱	۱/۵۱	۰/۲۳	۰/۰۵۹		
	خیلی زیاد	۱۸۴/۵۹	۵/۷۳	۲/۲۳	۰/۱۳	۰/۱۹۴		
	جمع	۸۰۰/۱۵	۱۶/۵۰					

دارد.

براساس روش آماری چندمتغیره، فقط 30 رده متغیر از مجموع 54 رده متغیر در سطح 95 و 99 درصد معنی‌دار هستند و بقیه اختلاف معنی‌داری ندارند. ضریب R برای معادله رگرسیون 57 درصد به

این نتایج با نتایج احمدی (۱۳۸۶) و شادر (۱۳۸۷)، که AHP را روش مناسب و کارآمدی در اکثر شرایط آب و هوایی بر می‌شمارند، همخوانی دارد [۲۱ و ۲۲]. براساس نتایج به دست آمده، روش رگرسیونی کارایی کمتری از روش دیگر در منطقه مورد مطالعه

- [4] Ramesht, M.H., 1996. *Application of Geomorphology In Regional National and Economic Planning*. first printed, University of Esfahan, 268.
- [5] Alesheikh, A., Vahidnia, M.H., Alimohammadi, A. and Hosseinali, F., 2009. Landslide Hazard Zonation Using Quantitative Methods in GIS. *International Journal of Civil Engineering*, 7(3), 176-189.
- [6] Behnyafar, A., Ghanbarzadeh, H. and Mansouri, M.R., 2009. *Landslide Hazard Zonation and Unstable Slope by AHP Methods and Probability (case study: basin Kong River, northern slopes Binalud)*. Journal of geographical space, Azad University, Ahar, 37, 55-78.
- [7] Pezham, M., 1996. *Mass Movements Hazard Zonation in Alamoutrood Watershed*. M.Sc. of Abkhizdari, Natural Resources Faculty, University of Tehran.
- [8] Shariat Jafari, M., Ghayomian, J., 2008. Evaluation of Bivariate Statistical Analysis Models in Sandslide Hazard Zonation. *Tehran University Journal*, 34 (1), 137-143.
- [9] Shirani, K., Ghayomian, J., and Mokhtari, A., 2005. Evaluation of Bivariate and Multivariate Statistical Methods in Landslide Hazard Zonation. *Journal of Water and Watershed, Soil Conservation and Watershed Management Research Institute*, 2(2), 36-48.
- [10] Safai, J., Onagh, M., Mesdaghi, M. and Shariat Jafari, M., 2009. Empirical and Statistical Models to Compare Performance Landslide Hazard Zonation (case study: watershed Alamut River). *Journal of Soil and Water Conservation Research*, 16(4), 35-45.
- [11] Geraei, P., Soleimani, K., Mousavi S.R. and Kaviyani, A., 2009. Landslide Hazard Regional Modelling by Using Multivaration Regression Statistical Method in Lajimrood Watershed of Sari. *Journal of Earth Sciences*, 73, 29-36.
- [12] Gee, M.D., 1992. Classification of

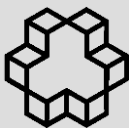
دست آمد که کاملاً پذیرفتی است. فاصله از جاده، لیتولوژی، پوشش گیاهی، فاصله از آبراهه، کاربری اراضی، مقدار و جهت شیب، بارندگی سالانه، و فاصله از گسل به ترتیب بیشترین تأثیر را در زمین‌لغزش دارند. دیگر اینکه ۲۴ پارامتر حذف شده در رگرسیون چندمتغیره، در روش تحلیل سلسه‌مراتبی دخالت داده شدند و مشخص شد که وزن آنها در هر عامل برابر است. در پایان، به نظر می‌رسد که در روش تحلیل سلسه‌مراتبی مبتنی بر وزن داده‌های رگرسیونی (روش تلفیقی)، علاوه بر اینکه نقش هر عامل با لغزش بررسی می‌گردد، بلکه تأثیر همزمان پدیده‌های واپسی نیز در نظر گرفته می‌شود و از این لحاظ نقشه نهایی خطر زمین‌لغزش انطباق بیشتری با پتانسیل لغزه‌خیزی منطقه خواهد داشت. البته شکی نیست که دقت در تهیه نقشه پارامترهای مؤثر، مستقیماً در دقت نقشه‌های خروجی مؤثر خواهد بود.

۵- منابع

- [1] Emami, S. and Ghayomian, J., 2003. Investigation on the Mechanism on the Landslide Rock Fall, Case Study: Afsrabad Landslide in Chaharmahal and Bakhtiari. In: *The Third Conference on Engineering Geology and Environment of Iran*, University in Bu Ali Sina Hamedan.
- [2] Shirani, K., 2004. *Evaluate the Most Important Landslide Hazard Zonation Methods to Select an Appropriate Method for the South of Isfahan Province, Semiroom Region*. Ministry of Agriculture, Soil Conservation Research Institute, 104.
- [3] Cornforth, D.H., 2005. *Landslides in Practice*. USA: john wiley & sons Inc, 591.
- Landslides Hazard Zonation Methods and a Test of Predictive Capability. In: Bell, Davi, H. (eds.), *Proceedings 6th International Symposium on Landslide*, 48-56.
- [13] Guzzetti, F., Cardinali, M., Relchenbach, P. and Carrara, A., 2000. Comparing Landslide Maps: A Case Study in the Upper Tiber

- River Basin. *Central Italy, Environmental management*, 25, 247-263.
- [14] Ilwes Applications Guide, 1997. Ilwes 2.1 for Windows. *International Institute for Aerospace Survey and Earth Science (ITC)*, Enschede, Netherlands.
- [15] Jade, S. and Sarkar, S., 1993. *Statistical Models for Slope Instability Classifications Engineering Geology*. 36, 91-98.
- [16] Nefeslioglu, H.A., Duman, T.Y., and Durmaz, S., 2008. Landslide Susceptibility Mapping for a Part of Tectonic Kelkit Valley (Eastern Black Sea region of Turkey). *Geomorphology*, 94 (3-4), 401-418.
- [17] Saro, Lee and Kyungduck, M., 2001. Statistical Analysis of Landslide Susceptibility at Yongin. Korea, *Environmental Geology*, 40, 1095-1113.
- [18] Varnes, D.J., 1978. *Landslide Type and Processes*. In: E. B Eckel, eds. *Landslide and Engineering Practice*, Special Report NO. 29., Highway Research Board, 20-47.
- [19] Varnes, D.J., 1984. *Landslide Hazard Zonation a Review of Principle and Practice*. Irancel United Nation Educational Scientific and Cultural (UNSSCO) France.
- [20] Yin, K.J. and Yan, T.Z., 1988. Statistical Prediction Model for Slope Instability of Metamorphosed Rocks. *Proceedings 5th International Symposium on Landslides*, Lausanne, Switzerland, 2, 1269-1272.
- [21] Ahmadi, H., Asmaly, A., Feiznia, S. and Shariat Jafari, M., 2003. Hazard Zonation Mass Movements Using Two Methods of Multiple Regression (MR) and AHP (case study: Garmi chayei watershed). *Journal of Natural Resources*, Jad 56, 326-323.
- [22] Feiznia, S., Klarstaghy, A., Ahmadi, H. and Safaei, M., 2004. Factors Affecting the Occurrence of Landslides and Landslide Hazard Zonation (Case Study: Shirin River Watershed Dam Tajan). *Journal of Natural Resources*, 57 (1), 3-22.
- [23] Shadfar, S., Yamani, M., Ghodousi, J. and Ghayomian, J., 2007. Landslide Hazard Zonation by Using AHP (case study: watershed Chalkrod Tonekabon). *Journal of Research and the Construction of Natural Resources*, 75, 118-126.
- [24] Alijani, B., Ghohrodi, M. and AmirAhmadi, A., 2007. Landslide Hazard Zonation in the northern Shah Jahan Slopes by Using GIS (Case study: basin Astrkhy Shirvan). *Geographical Research Quarterly*, 116-131.
- [25] AliMohammadi, S., Pashaii aval, A., Shtay Jooybari, Sh. and Parsaei, L., 2009. Iran Efficiency Assessment of Landslide Hazard Zonation in the Watershed Sydklath Rummy. *Journal of Soil and Water Conservation Research*, 16 (1), p 59-78.
- [26] Ownegh, M., 2004. Assessing the Applicability of Australian Landslide Databases for Hazard Management. In: *13th International Soil Conservation Organization Conference*, Brisbane, July.
- [27] Haghshenas, E., 1996. *Landslide Hazard Zonation and Relationship Its to Sediment Yield in Taleghan*. M.Sc. Thesis, Tarbiyat Modares university.
- [28] Sadoaldin, A., 1993. *Investigation of Hydrogeomorphologic Parameters Effects on Mass Movements Slope Matter in Chasham-khatirkouh watershed of Semnan*. M.Sc. Thesis, Tarbiyat Modares university.
- [29] Movahed Danesh, A.A., 1994. *Hydrology of Surface waters of Iran*. Tehran: Samt Publication.
- [30] Water project of Iran, 1999. *Karoon Basin Report*. Consulting engineers company of Jamab related to Niro ministry.
- [31] Masodian, A. and Kaviani, M., 2007. *Climatology Iran*, Isfahan: University of Isfahan press.
- [32] Nagarajan, R., Roy, A., Vinodkumar, R., Mukherjee, A. and Khire, M.V., 2000. *Landslide Hazard Susceptibility Mapping based on Terrain and Climatic Factors for Tropical Monsoon Regions*. Bull. Eng. Geol. Env. 58.

- [33] Ghodsiour, S.H., 2009. *Analytical Hierarchy Process (AHP)*. Tehran: Amirkabir university Publication.
- [34] Shirani, K., Chavoshi, S. and Ghayomian, J., 2006. Evaluation of Methods for Landslide Hazard Zonation in the Uptown Padena Semiroom. *Research Journal of Sciences, Isfahan University*, 23(1), 23-38.
- [35] Van Westen, C.J., Rengers, N., Terline, M.T.J. and Soeters, R., 1997. Predication of the Occurrence of Slope Instability Phenomena through GIS-Based Hazard Zonation. *Geologisches Rundschau*, 86, 404-414.
- [36] Van Westen, C.J. 1998. *Geographic Information Systems in Slope Instability Zonation (GISSIZ)*, Volume I, II.
- [37] Yalcin., A., 2008. *GIS-based Landslide Susceptibility Mapping Using Analytical Hierarchy Process and Bivariate Statistics in Ardesen (Turkey)*, Comparisons of results and confirmations Catena, 72, 1 – 12.



Accuracy Investigation of Analytical Hierarchy Process (AHP) and Multivariate Regression (MR) Methods in Landslide Hazard Zonation, Using GIS (Case Study: Marbor River Basin)

Shirani K.^{1*}, Saif A.², Alimoradi M.³

1. Ph.D. Candidate, Geomorphology Dep., Geographic Sciences Faculty, University of Isfahan

2. Assistant Prof. Geomorphology Dep., Geographic Sciences Faculty, University of Isfahan

3. M.Sc. of Geomorphology Dep., Geographic Sciences Faculty, University of Isfahan

Abstract

A combination of natural and human factors have caused numerous landslide related damaged. One of the main strategies for reducing the damages of landslides is to avoid these regions. For this purpose it is necessary to be prepared landslide hazard zonation map precisely among available methods for these areas. At first, the object of this research is the relative weight determination of effective parameters, using Multivariate Regression (MR) in substitute of parameters priority in Analytical Hierarchy Process (AHP). For implementing this research, first of all, by aerial photos and satellite images, geological maps and studies of the field by using GPS, landslide inventory map in Marbor River Basin (sub-basin of the upper part of North Karoon Basin), an 800 square kilometers area located on the lower part of Southern Isfahan province, were prepared. By Using field studies and reviewing the related studies about similar areas with basins of Karoon and Dez Upper North and the existing thematic maps, 9 factors including lithology, slope, land use, rainfall, vegetation, aspect, and lineaments elements, containing fault and drainages, the action of factors in determining landslide (54 parameters in the consist of eight main factors) were measured. For the purpose of enhancing accuracy, accelerating and easing the analysis, all spatial and descriptive data entered into GIS system and were overlayed ArcGIS version9.3 software as vector. By overlaying these maps, 27466 homogeneous units were resulted, that were based upon calculating two methods including MR an AHP related to Multivariate decision analysis the results of analysis showed that both methods have almost had the same accuracy in separation landslide hazard zones, and the landslide hazard index was obvious too. Of course, it should be noticed that hierarchical approach based on regression data, on the basis the sum of quality index as an indicator of the accuracy, is more desirable.

Keywords: Landslide, Hazard zonation, Marbor watershed, Multivariate regression, Analytical Hierarchy Process, GIS.

* Correspondence Address: Isfahan Center for Research of Agricultural science and Natural Resources, Amirhamzeh, Isfahan
Tel: 09133137356
Email: k-sh424@yahoo.com